

СТРУКТУРА, МАГНИТНЫЕ СВОЙСТВА И ТЕПЛОЕМКОСТЬ  
СОЕДИНЕНИЯ  $R Ba_2 Cu_3 O_{7+\delta}$  ( $R=Er, Ho$ )

И.Ф.Бергер, В.И.Воронин, Ю.Г.Чукалин, В.Р.Штирц,  
А.В.Ершов, В.В.Майков, А.И.Блиновский, В.И.Бобровский,  
С.А.Давыдов, А.Э.Карькич, В.Л.Кожевников, И.А.Леонидов,  
А.В.Мирмельштейн, М.В.Садовский, С.М.Чешницкий,  
Б.Н.Гоцицкий

ИФМ УРО АН СССР, ИХ УРО АН СССР

Проведены измерения магнитных свойств, теплоемкости и нейтронографическое исследование структуры  $R Ba_2 Cu_3 O_{7+\delta}$  ( $R=Er, Ho, Y$ ), имеющих начало перехода в сверхпроводящее состояние при 94 К. Структурные исследования, проводившиеся при комнатной температуре (длина волн нейтронов  $\lambda = 1,515 \text{ \AA}$ , среднее разрешение  $\Delta d/d \approx 0,5\%$ ), показали, что все линии на нейтронограммах соединений  $R Ba_2 Cu_3 O_{7+\delta}$  индицируются в ромбической элементарной ячейке (пространственная группа  $Pmm - \mathcal{D}_{2h}^4$ ). Атомы занимают следующие позиции: барий -  $2t$ , РЗ -  $1h$ , медь 1 -  $1a$ , медь 2 -  $2q$ , кислород -  $2q, 2s, 2r, 1e$  и  $1g$ . Для уточнения структурных параметров варьировали масштабный множитель, числа заполнения позиций, координаты атомов, общий тепловой фактор  $B_0$  и индивидуальные добавки к нему  $\Delta B$  для каждого сорта атомов и позиций в изотропном приближении. Наилучшая сходимость расчетных и экспериментальных интенсивностей достигается при наличии вакансий по кислороду в позиции  $1g$ . Уточненные структурные параметры, а также значения R-факторов, приведены в таблице. Наши результаты хорошо согласуются с данными [1], образцы являются практически однофазными.

Измерения магнитной восприимчивости  $\chi$  соединений  $R Ba_2 Cu_3 O_{7+\delta}$  ( $R=Er, Ho$ ) в интервале температур  $4,5 \div 300$  К показали, что выше 100 К температурная зависимость  $\chi$  хорошо описывается законом Кюри-Вейсса с параметром тем-

	$\text{YBa}_2\text{Cu}_3\text{O}_{7-\delta}$	$\text{HoBa}_2\text{Cu}_3\text{O}_{7-\delta}$	$\text{ErBa}_2\text{Cu}_3\text{O}_{7-\delta}$	
	Нейтроны		Нейтроны	Рентген
$a (\text{\AA})$	3,8206(4)	3,8179(6)	3,8124(3)	
$b (\text{\AA})$	3,8851(4)	3,3807(5)	3,8725(2)	
$c (\text{\AA})$	11,676(I)	11,642(I)	11,6187(9)	
$\text{Ba} (2t)$	0,1840(5)	0,183(I)	0,182(I)	0,187(3)
$\text{Cu} (2g)$	0,3556(8)	0,3550(6)	0,3578(8)	0,366(7)
$\text{O1} (2f)$	0,155(I)	0,156(2)	0,158(I)	0,167(20)
$\text{O2} (2g)$	0,381(I)	0,379(2)	0,381(I)	0,37(I)
$\text{O3} (2r)$	0,374(2)	0,375(2)	0,376(2)	0,37(I)
$\Delta B$	1,6(2)	1,57(7)	1,75(6)	1,39(10)
$B_0$	0,46(2)	0,47(2)	0,51(4)	0,4(I)
$R$	2,33	2,96	7,12	8,1

пературой Кюри  $\Theta = +8 \pm 2$  К для обоих образцов (рис. I, внешнее магнитное поле  $H = 10$  кГ). Величины магнитных моментов ионов  $\text{Er}^{3+}$  и  $\text{Ho}^{3+}$  равны соответственно  $8,5 \mu_B$  и  $9,7 \mu_B$ , что несколько меньше теоретических значений  $\mu_{\text{эф.}}$  для свободных ионов ( $9,58 \mu_B$  и  $10,61 \mu_B$ ). Положительные значения температуры Кюри указывают на существование ферромагнитного обмена между РЭ-ионами. Однако, как следует из магнитных измерений, выше 4,2 К какие-либо признаки ферромагнитного упорядочения отсутствуют.

При комнатной температуре кривые намагничивания являются безгистерезисными с линейной зависимостью намагниченности от поля. При  $T < T_c$  кривые намагничивания имеют гистерезисный характер, при этом в

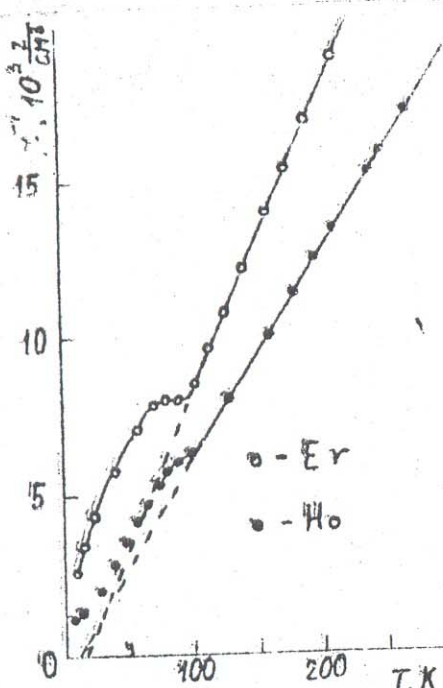


Рис. 1

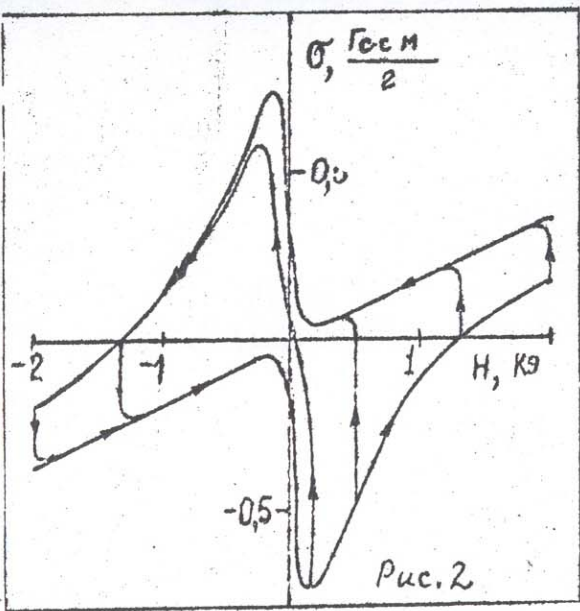


Рис.2

малых полях наблюдается отчетливый диамагнитный эффект (рис.2). Картину гистерезиса легко понять как прямое наложение сильного парамагнетизма, обусловленного РЗ ионами, на типичную диамагнитную петлю гистерезиса сверхпроводника I рода. Более детальной особенностью изучаемых систем является

сохранение сверхпроводящего состояния в намагниченном внешнем полем образце.

Теплоемкость исследуемых соединений измерили адиабатическим методом в интервале температур  $2,5 \div 270$  К на образцах массой  $\sim 10$  г. При низких температурах теплоемкости  $\text{HoBa}_2\text{Cu}_3\text{O}_{7+\delta}$  и  $\text{ErBa}_2\text{Cu}_3\text{O}_{7+\delta}$ , в отличие от  $\text{YBa}_2\text{Cu}_3\text{O}_{7+\delta}$ , наблюдаются особенности (рис.3), температурные зависимости и величины которых

( $\sim 0,4R$  на атом гольмия) указывают, что они связаны с расщеплением  $4f$ -уровней РЗ ионов кристаллическим полем. Косвентное выделение вкладов, обусловленных эффектами кристаллического поля, затруднительно, однако оценки показывают, что в гольмийской системе аномалия типа Шоттки соответствует

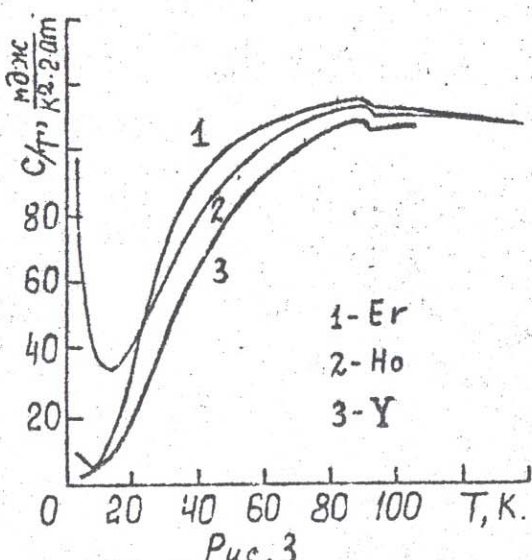


Рис.3

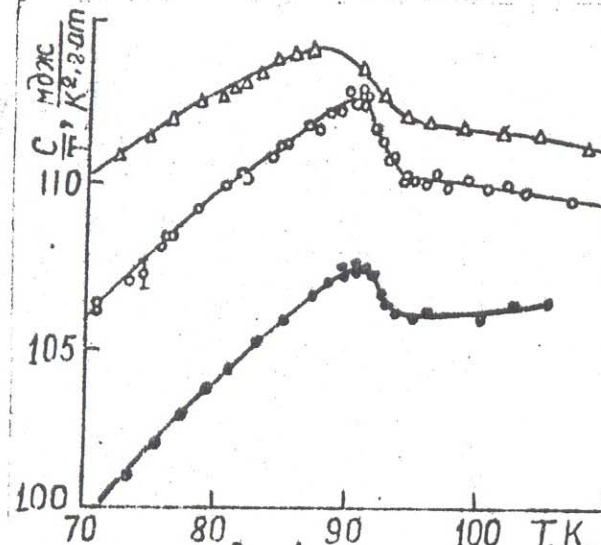


Рис. 4

вует расщеплению  $\sim 1$  мэВ, а в системе с эрбием – менее 0,5 мэВ и, возможно,  $\sim 10$  мэВ. В области сверхпроводящего перехода наблюдаются скачки теплоемкости (рис.4). Значения  $T_c$ , соответствующие середине перехода по теплоемкости и по индуктивному методу, совпадают в пределах  $\sim 0,5$  К. Величины скачков теплоемкости

составляют  $3,0 \pm 0,5$ ;  $2,8 \pm 0,5$  и  $2,5 \pm 0,5$  мДж/г-ат. $K^2$  для образцов с гольмием, эрбием и иттрием соответственно. При  $T \geq 150$  К теплоемкости всех трех соединений практически совпадают (температура Дебая  $\sim 500$  К). Отметим, что малые величины расщепления состояний  $f$ -оболочки  $R_3$  ионов указывают на значительную степень ковалентности меди–кислородных связей, в результате чего заряды ионов меди и кислорода оказываются заэкранченными локализованными вблизи них электронами, а подрешетка параметрических ионов и медь–кислородный каркас, играющий, по-видимому, главную роль в возникновении высокотемпературной сверхпроводимости, слабо взаимодействующими. Этим, вероятно, и объясняется тот факт, что независимо от сорта  $R_3$  иона, сверхпроводящие свойства соединений  $R_3Ba_2Cu_3O_{7+\delta}$  одинаковы.

### Литература

1. Capponi J. J. et al - Препринт, Гренобль, 1987 г.